

УДК 523.164.83 + 621.371 519

## СТРУКТУРНАЯ ФУНКЦИЯ ЛУННОГО РЕЛЬЕФА ПО РАДИОЛОКАЦИОННЫМ ДАННЫМ

*И. М. Фукс*

Проведен анализ частотной зависимости радиолокационного сечения рассеяния  $\sigma(0)$  поверхности Луны в диапазоне длин волн  $3,6 \text{ см} < \lambda < 6 \text{ м}$  при различных углах облучения  $\theta$ . Предложена интерпретация этих зависимостей на основе решения задачи дифракции волны на статистически шероховатой поверхности со структурной функцией  $D(\rho) = C^2 \rho^{5/3}$  ( $D(\rho)$  — средний квадрат разности высот между двумя точками лунного рельефа, разнесенными на расстояние  $\rho$ ). Соответствующий пространственный спектр  $S(x)$  (средний квадрат амплитуды пространственных гармоник неровностей с периодом  $\Lambda = 2\pi/x$ ) имеет вид  $S(x) = 0,446 C^2 x^{-11/3}$  со структурной постоянной  $C^2 = 0,051 \text{ см}^4/3$ .

Радиолокационные исследования Луны, проведенные в 60—70-х годах в широком диапазоне длин волн от  $8,6 \text{ мм}$  до  $19 \text{ м}$  (см. обзоры [1—3]), позволили получить радиояркостные карты лунной поверхности с высоким пространственным разрешением, приближающимся к предельному разрешению в оптическом диапазоне ( $\approx 1 \text{ км}$ ). Кроме идентификации деталей изображения поверхности на радиолокационных картах и качественного их сравнения с оптическими фотографиями Луны, представляет несомненный интерес получение количественной информации о структуре лунной поверхности и физических параметрах лунного грунта. Фактически речь идет об установлении связи радиолокационной отражающей способности со степенью шероховатости поверхности и значением диэлектрической проницаемости  $\epsilon$  грунта в поверхностном слое.

По величине полного радиолокационного сечения рассеяния  $\sigma_0$  лунного диска можно оценить среднее по поверхности Луны (в области, прилегающей к подрадарной точке) значение  $\epsilon$ , если предположить, что шероховатость рельефа не может сколько-нибудь существенно изменить полную интенсивность радиолокационного сигнала (о всего диска в целом), и считать, что отличие экспериментально наблюдаемого сечения  $\sigma_0$  от геометрического  $\pi a^2$  ( $a = 1738 \text{ км}$  — радиус Луны) обусловлено только отличием от единицы коэффициента отражения Френеля:

$$V_0 = |(\sqrt{\epsilon} - 1)/(\sqrt{\epsilon} + 1)|. \quad (1)$$

Проведенные таким способом оценки  $\epsilon$  (см., например, [1]) оказываются практически не зависящими от длины волны излучения в указанном выше широком диапазоне длин волн и дают в среднем значение  $\epsilon = 2,6 \div 2,8$ , которое хорошо согласуется с данными, полученными из радиометрических измерений теплового излучения Луны [4].

При облучении Луны импульсами достаточно малой длительности от  $250 \div 100 \text{ мкс}$  и короче (полная радиолокационная глубина Луны равна  $11,6 \text{ мс}$ ) по временной развертке интенсивности радиолокационного сигнала определяется зависимость удельного сечения обратного рассеяния  $\sigma$  от угла падения  $\theta$ . По скорости убывания  $\sigma$

с ростом  $\theta$  (от подрадарной точки к лимбу) можно судить о характерных углах наклона лунного рельефа, однако так определенная величина дисперсии наклона оказывается зависящей от длины волны излучения [3], и вопрос об объективном определении степени шероховатости поверхности (во всяком случае не зависящем от длины волны излучения) до сих пор остается открытым.

В данной работе предложена интерпретация зависимости от длины волны облучения  $\lambda$  экспериментально наблюдаемых сечений рассеяния  $\sigma(\theta)$ , основанная на так называемой комбинированной (или двухмасштабной) модели. Эта модель успешно применяется в течение последних 15 лет в радиоокеанографии [5-9] — новом и быстро развивающемся направлении статистической радиофизики, основы которого были заложены еще в пятидесятых годах исследованиями, проведенными в ИРЭ АН УССР в диапазоне декаметровых радиоволн [10].

**1 Статистическое описание рельефа.** Получаемая при радиолокации Луны зависимость  $\sigma(\theta)$  является результатом усреднения «локальных» сечений рассеяния в пределах всего освещенного импульсом кольца на поверхности Луны. При построении радиояркостных карт разрешение внутри кольца осуществляется благодаря эффекту Доплера за счет либрации Луны путем частотной фильтрации принятого сигнала (см., например, [11]). Мы же будем интересоваться не отдельными деталями лунного рельефа, а попытаемся выяснить, какие ее статистические параметры можно определить по усредненным зависимостям  $\sigma(\theta)$  на разных длинах волн.

Обозначим через  $r$  радиус-вектор точки на идеально гладкой поверхности Луны — сфере  $S_0$  радиуса  $a$  с диэлектрической проницаемостью  $\epsilon$ . Радиальные отклонения истинной поверхности от сферической обозначим через  $\zeta(r)$  и будем рассматривать эту функцию (рельеф поверхности) как одну из реализаций некоторой случайной функции двух переменных — случайного поля. Предположим далее, что статистические свойства  $\zeta(r)$  в среднем одинаковы на всей сфере, т. е. что введенное поле является пространственно однородным. Так как у нас нет ансамбля лунных поверхностей, то нам остается только постулировать эргодичность функции  $\zeta(r)$  и под усреднением  $\langle \dots \rangle$  понимать интегрирование по поверхности сферы  $S_0$ . Считая, что  $\langle \zeta \rangle = 0$  (т. е. предполагая, что в среднем поверхность Луны действительно является идеальной сферой), введем корреляционную функцию  $W(\rho)$  соотношением (см., например, [12], гл. 1)

$$W(\rho) = \frac{1}{4\pi a^2} \iint_{S_0} \zeta(r + \rho) \zeta(r) d^2 r \equiv \langle \zeta(r + \rho) \zeta(r) \rangle. \quad (2)$$

Ясно, что  $W(\rho)$  является периодической функцией с периодом  $2\pi a$ , если точка с радиусом-вектором  $\rho$  перемещается по дуге большого круга. Однако в дальнейшем это обстоятельство можно не принимать во внимание, так как изучение корреляции на столь больших расстояниях, сравнимых с лунным диаметром, вряд ли статистически оправдано. Поэтому в дальнейшем речь будет идти о выяснении корреляционной связи между высотами лунного рельефа на расстояниях  $\rho$ , значительно меньших  $\pi a$ , что позволяет ввести пространственный спектр  $S(\kappa)$  случайного поля  $\zeta(r)$  как обычное преобразование Фурье:

$$S(\kappa) = \frac{1}{(2\pi)^2} \iint_{-\infty}^{\infty} W(\rho) e^{i\kappa\rho} d^2 \rho \quad (3)$$

Здесь пространственные частоты  $\kappa$  предполагаются не очень малыми ( $\kappa a \gg 1$ ), поэтому основной вклад в интеграл (3) дает область

$\rho \ll \pi a$ , что и позволяет распространить пределы интегрирования в (3) до бесконечности. Интегрирование  $S(\kappa)$  по всем направлениям  $\varphi$  вектора  $\mathbf{x}$  приводит к функции

$$S(\kappa) = \int_0^{2\pi} S(\kappa) d\varphi, \quad (4)$$

имеющей смысл среднего квадрата высоты пространственных гармоник рельефа с периодом  $\Lambda=2\pi/a$ , отнесенной к единичному интервалу пространственных частот  $\kappa$ . Наряду со случайным полем  $\zeta(\mathbf{r})$  будем также рассматривать поле наклонов  $\gamma(\mathbf{r}) = \nabla_r \zeta(\mathbf{r})$ . Ниже будет показано, что с помощью предлагаемой модели рассеяния по частотной зависимости  $\sigma(\theta)$  можно определить пространственный спектр  $S(\kappa)$  и плотность распределения  $w(\gamma)$  модулей наклонов в области  $\gamma^2 \ll 1$ .

**2. Двухмасштабная модель.** Для решения задачи дифракции радиоизлучения с длиной волны  $\lambda$ , падающего под углом  $\theta$  на поверхность  $\zeta(\mathbf{r})$ , представим последнюю в виде суперпозиции двух поверхностей: сглаженной поверхности  $Z(\mathbf{r})$ , спектр которой  $S_z(\kappa)$  совпадает со спектром  $S(\kappa)$  реальной поверхности  $\zeta(\mathbf{r})$  при  $\kappa \leq \kappa_0$  и равен нулю при  $\kappa > \kappa_0$ :

$$S_z(\kappa) = \eta(\kappa_0 - \kappa) S(\kappa) \quad \eta(x) = \begin{cases} 1 & (x \geq 0) \\ 0 & (x < 0) \end{cases}, \quad (5)$$

и мелкомасштабной поверхности  $\xi(\mathbf{r})$  со спектром

$$S_\xi(\kappa) = \eta(\kappa - \kappa_0) S(\kappa). \quad (6)$$

Выберем  $\kappa_0$  настолько малым, чтобы характерные радиусы кривизны  $R$  крупномасштабной поверхности  $Z(\mathbf{r})$  были велики по сравнению с длиной волны излучения:

$$kR \gg 1, \quad \frac{1}{R^2} = \frac{1}{(1 + \Gamma_0^2)^3} \int_0^{\kappa_0} S(\kappa) \kappa^5 d\kappa. \quad (7)$$

Здесь  $k = 2\pi/\lambda$ , а  $\Gamma_0^2$  — дисперсия модуля  $\Gamma$  поля наклонов  $\Gamma = \nabla_r Z(\mathbf{r})$ :

$$\Gamma_0^2 = \langle |\nabla_r Z(\mathbf{r})|^2 \rangle = \int_0^{\kappa_0} S(\kappa) \kappa^3 d\kappa. \quad (8)$$

При выполнении неравенства (7) рассеяние на поверхности  $Z(\mathbf{r})$  можно рассчитывать с помощью метода касательной плоскости [13, 14] (аналогичного методу Кирхгофа в теории дифракции на плоских экранах) и не учитывать затенений поверхности и многократных переизлучений (см. подробнее [15], § 22, 23), если

$$\Gamma_0^2 \ll 1 \quad \text{и} \quad \operatorname{ctg}^2 \theta \gg \Gamma_0^2, \quad (9)$$

т. е. поверхность  $Z(\mathbf{r})$  является не только гладкой (в масштабе длины волны), но и пологой, а облучение — не очень скользящим. Если при этом дисперсия нормальных отклонений  $h^2 = \langle \xi^2(\mathbf{r}) \rangle$  реальной поверхности  $\xi(\mathbf{r})$  от сглаженной  $Z(\mathbf{r})$  оказывается достаточно малой:

$$(kh)^2 = k^2 \int_{\kappa_0}^{\infty} S(\kappa) \kappa d\kappa \ll 1 \quad (10)$$

(критерий Рэлея), то для расчета поля, дифрагирующего на мелкомасштабной структуре  $\xi(\mathbf{r})$ , можно воспользоваться методом возмущений [16]. Если можно найти такое  $x_0$ , что неравенства (7) и (10) оказываются совместимыми, то сечение рассеяния  $\sigma$  (с единицы облученной площади) может быть представлено в виде суммы  $\sigma = \sigma_z + \sigma_\xi$ , где  $\sigma_z$  — сечение рассеяния на сглаженной поверхности  $Z(\mathbf{r})$ , которое при больших параметрах Рэлея,

$$(kH)^2 = k^2 \int_0^{x_0} S(x) x dx \gg 1 \quad (11)$$

( $H^2$  — дисперсия отклонений  $Z(\mathbf{r})$  от среднего уровня  $\langle Z \rangle = 0$ ), имеет вид\*

$$\sigma_z(\theta) = (V_0^2/2 \cos^4 \theta) w(\tan \theta). \quad (12)$$

Здесь  $w(\Gamma)$  — плотность распределения вероятностей наклонов  $\Gamma = |\Gamma|$ :

$$w(\Gamma) = \int_0^{2\pi} w(\Gamma) d\varphi, \quad \int_0^\infty w(\Gamma) \Gamma d\Gamma = 1. \quad (13)$$

Если, например,  $\xi(\mathbf{r})$  — нормальное случайное поле (с гауссовым распределением возвышений  $\xi$ ), то поле наклонов  $\Gamma = \nabla_r Z(\mathbf{r})$  также является нормальным, так как оно получается из  $\xi(\mathbf{r})$  путем линейной фильтрации (5) и последующего дифференцирования и, следовательно,  $\Gamma$  распределено по закону Рэлея\*\*:

$$w(\Gamma) = (2/\Gamma_0^2) \exp(-\Gamma^2/\Gamma_0^2). \quad (14)$$

Сечение рассеяния  $\sigma_\xi$  на мелкомасштабной структуре  $\xi(\mathbf{r})$  в первом приближении теории возмущений имеет вид (см. например, [9])

$$\sigma_\xi(\theta) = k^4 \langle Q(\theta', \varepsilon) S_\xi(2k \sin \theta') \rangle_\Gamma. \quad (15)$$

Здесь  $\theta' = \arccos(\mathbf{n}\beta)$ ,  $\beta$  — единичный вектор направления на радиолокатор,  $\mathbf{n}$  — нормаль к поверхности  $Z(\mathbf{r})$ , радиальная  $n_r$  и тангенциальная  $n_\perp$  компоненты которой имеют вид

$$n_r = 1/\sqrt{1+\Gamma^2}, \quad n_\perp = -\Gamma n_r. \quad (16)$$

Усреднение в (15) проводится по наклонам  $\Gamma$  крупномасштабной поверхности  $Z(\mathbf{r})$ . Явный вид множителя  $Q(\theta', \varepsilon)$  с учетом поляризации излучения в общем (не только радиолокационном) случае приведен в [7, 15]. Как будет видно из дальнейшего (см. рис. 4), при  $\lambda > 3$  см дисперсия наклонов  $\Gamma_0^2$  оказывается настолько малой, что в (15) угол  $\theta'$  можно заменить на  $\theta$  — угол между  $\beta$  и нормалью к сфере  $S_0$ , и при анализе зависимости  $\sigma_\xi$  от длины волны  $\lambda$  конкретный вид  $Q(\theta, \varepsilon)$  оказывается несущественным. При этом из формулы (15) следует вывод о резонансном характере рассеяния волны на мелкомасштабной структуре  $\xi(\mathbf{r})$  — интенсивность радиолокационного сигнала определяется спектральной плотностью  $S(x_p)$  только одной пространственной гармоники шероховатостей с  $x_p = 2k \sin \theta$ . Для того, чтобы рассеяние

\* Формула (12) следует из формулы (20.38a) монографии [15] в радиолокационном случае после усреднения по азимутальному углу  $\varphi$  (т. е. по поверхности освещенного кольца) и отличается от нее множителем  $4\pi$  (см. подстрочное примечание на с. 96 [15]).

\*\* Законом Рэлея, строго говоря, называется произведение  $Gw(\Gamma)$ , которое, согласно (13), нормировано на единицу

на такой синусоиде можно было рассчитывать по теории возмущений, необходимо также, чтобы она была достаточно пологой:

$$\gamma^2(\kappa_p) = \kappa_p^4 S(\kappa_p) \ll 1. \quad (17)$$

**3. Дисперсия наклонов.** Из приведенного в [1] обзора радиолокационных данных следует, что в угловой зависимости  $\sigma(\theta)$  можно выделить по крайней мере две области, соответствующие существенно различным механизмам рассеяния: а) квазизеркальную область малых углов падения, где при увеличении  $\theta$  от нуля до  $15-30^\circ$  сечение

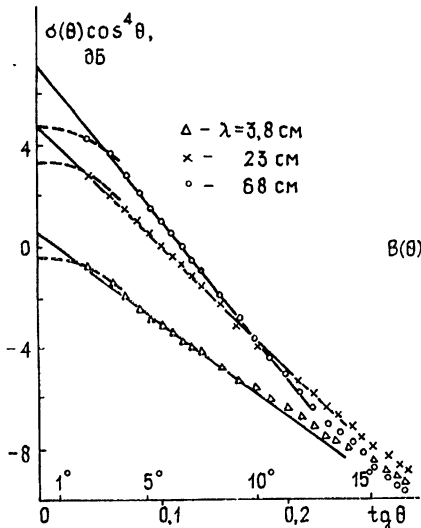


Рис. 1.

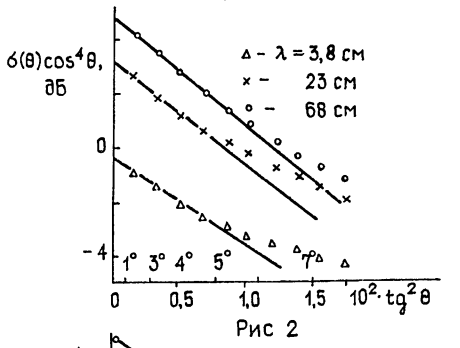


Рис. 2

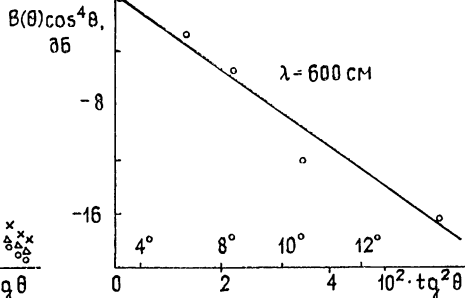


Рис. 3

Рис. 1. Точки — экспериментальные данные [1], сплошные прямые линии — экспоненциальный закон (18) распределения вероятностей наклонов  $w(\Gamma)$ , штриховая — гауссов закон (14).

Рис. 2 То же, что на рис. 1 в зависимости от  $\text{tg}^2\theta$ , в области малых углов падения  $\theta$ . Прямые линии соответствуют закону (14) для распределения  $w(\Gamma)$ .

Рис. 3. Точки — экспериментальные данные из [1], прямая линия соответствует гауссову закону (14) распределения  $w(\Gamma)$ .

$\sigma(0)$  уменьшается на десятки децибел (на  $\approx 10$  дБ для  $\lambda = 3,6$  см и на  $\approx 30$  дБ для  $\lambda = 6$  м), и б) широкую область диффузного рассеяния, где  $\sigma(\theta)$  изменяется всего на несколько децибел при изменении  $\theta$  от  $30$  до  $80^\circ$ . Если считать, что сечение рассеяния в квазизеркальной компоненте описывается формулой (12), то по экспериментальным зависимостям  $\sigma(\theta)$  можно легко определить  $w(\Gamma)$  — плотность распределения вероятностей наклонов крупномасштабной (сглаженной) поверхности  $Z(r)$ . На рис. 1 по данным, приведенным в [1], для  $\lambda = 3,8$ ,  $23$  и  $68$  см построены графики зависимости произведения  $\sigma(\theta) \cos^4 \theta$  от  $\text{tg} \theta$ . Видно, что в диапазоне углов  $4^\circ \leq \theta \leq 15^\circ$  эта зависимость в логарифмическом масштабе является линейной, т. е.  $\lg w(\Gamma) \sim \Gamma$ , поэтому с учетом нормировки (13)

$$w(\Gamma) = b^2 \exp(-b \Gamma), \quad (18)$$

где  $b^2 = 6/\Gamma_c^2$ . Полученные по наклонам прямых на рис. 1 значения дисперсии

$$\Gamma_0^2 = \int_0^\infty w(\Gamma) \Gamma^3 d\Gamma \quad (19)$$

для указанных трех длин волн приведены на рис. 4 (светлые кружки). Там же приведено значение  $\Gamma_0^2$  для  $\lambda=10 \text{ см}$  по данным работы [17], полученное описанным выше способом, но не по  $\sigma(0)$ , а по диаграмме обратного рассеяния в квазизеркальной области:

$$B(\theta) = \frac{\sigma(\theta)}{\sigma(0)} \approx \frac{1}{\cos^4 \theta} \frac{w(\tan \theta)}{w(0)}. \quad (20)$$

На рис. 3 аналогичным образом представлены экспериментальные данные из [18] при  $\lambda=6 \text{ м}$ . Видно, что в этом случае зависимость  $\lg B(\theta) \cos^4 \theta$  лучше линеаризуется в функции от  $\tan^2 \theta$ , т. е.  $w(\Gamma)$  имеет вид распределения Рэлея, значение параметра  $\Gamma_0^2$  которого также приведено на рис. 4. Из рис. 4 следует, что в широком диапазоне длины волн от 3,6 см до 6 м частотная зависимость дисперсии наклонов  $\Gamma_0^2$  имеет вид  $\Gamma_0^2 \sim \lambda^{-1/3}$ . Сплошная линия на рис. 4 соответствует закону

$$\Gamma_0^2 = Ak^{1/3}, \quad (21)$$

где  $A=0,068 \text{ см}^{1/3}$ . С другой стороны,  $\Gamma_0^2$  может быть определено непосредственно по значению  $\sigma$  при  $\theta=0$ , если только априори известен характер закона распределения  $w(\Gamma)$  и значение  $\varepsilon$ , так как из (12) следует:

$$\Gamma_0^2 = 3V_0^2/\sigma(0); \quad (22a)$$

$$\Gamma_0^2 = V_0^2/\varepsilon(0). \quad (22b)$$

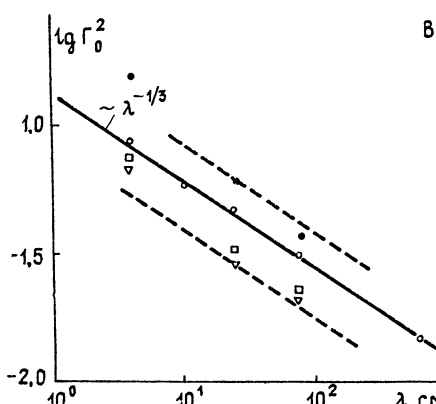


Рис. 4.

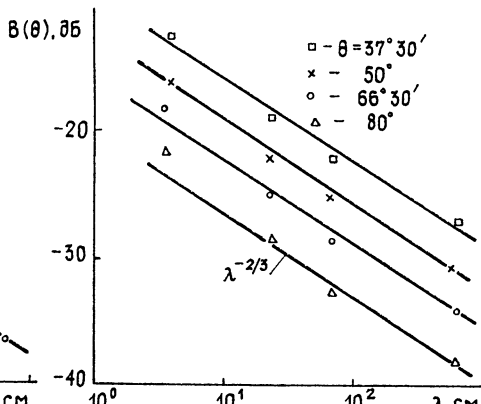


Рис. 5.

Рис. 4. Зависимость дисперсии наклонов  $\Gamma_0^2$  края помасштабной компоненты лунного рельефа от длины волны облучения  $\lambda$ . Светлые кружки соответствуют значениям, полученным из угломестных зависимостей  $\sigma(\theta)$  (рис. 1, 2) и  $B(\theta)$  (рис. 3) по экспериментальным данным [1, 17, 18].

Рис. 5. Зависимость диаграммы обратного рассеяния  $B(\theta)$  от длины волны  $\lambda$  в диффузной области. Значки — экспериментальные данные из [1] ( $\lambda=3,8, 23$  и  $68 \text{ см}$ ) и из [18] ( $\lambda=6 \text{ м}$ ).

Первая из этих формул соответствует экспоненциальному закону (18), а вторая — рэлеевскому (14). На рис. 4 приведены значения  $\Gamma_0^2$  (черные кружки), полученные по формуле (22a) с  $V_0^2=0,06$  пул-

тем линейной экстраполяции до  $\theta=0$  графиков для  $\sigma \cos^4 \theta$ , приведенных на рис. 1 сплошными линиями. Если при  $\theta \leqslant 5^\circ$  принять линейную экстраполяцию для  $\lg \sigma \cos^4 \theta$  в зависимости от  $\operatorname{tg}^2 \theta$  (рис. 2), т. е. считать распределение  $w(\Gamma)$  в этой области рэлеевским (штриховые линии на рис. 1), то хотя для  $\sigma(0)$  и получаются меньшие значения, однако величина дисперсий  $\Gamma_0^2$ , определенных по (22б) (светлые треугольники на рис. 4), оказывается все же меньше, чем в предыдущем случае. К близким значениям  $\Gamma_0^2$  приводят расчеты по формуле (22б), если в нее вместо величин  $\sigma(0)$ , получаемых путем различных экстраполяций, подставить экспериментальные данные при минимальном угле наблюдения  $\theta=2^\circ 38'$ . Эти значения также приведены на рис. 4 светлые квадратики). Следует отметить, что определение  $\Gamma_0^2$  по  $\sigma(0)$  (треугольники, квадратики и темные кружки на рис. 4) связано со значительно большими погрешностями, чем по зависимости от  $\theta$  диаграммы обратного рассеяния  $B(\theta)$  (светлые кружки на рис. 4): во-первых, абсолютные измерения  $\sigma(\theta)$  требуют, в отличие от  $B(\theta)$ , тщательной калибровки аппаратуры; во-вторых, измерение  $\sigma(0)$  осложняется тем, что переход от измеряемого в эксперименте времени задержек импульса  $t$  к углу  $\theta$  по формуле  $\cos \theta = 1 - ct/2a$  при малых  $\theta$  сопровождается большими ошибками, ибо  $d\theta/dt = \infty$  при  $\theta=0$ ; в-третьих, в формулы (22а), (22б), в отличие от (20), входит значение  $\varepsilon$ , которое также известно не очень точно; наконец, измерение  $\sigma(\theta)$  подразумевает достаточное статистическое усреднение, чего достичь практически невозможно из-за того, что поддадарная точка на поверхности Луны перемещается довольно медленно и на очень ограниченной площади. Заметим, что усреднение  $\sigma(0)$  при наклонном облучении ( $\theta$  — больше нескольких градусов) обеспечивается не только усреднением по площади облученного кольца, но и временным усреднением (за счет либрации) мгновенных значений  $\sigma$ , формирующихся в результате интерференции сигналов от пространственно разнесенных участков поверхности в пределах облученного кольца. В эксперименте это проявляется в расширении спектра отраженного сигнала по мере увеличения задержки  $t$  (и, соответственно, увеличении угла  $\theta$ ). Из рис. 4 видно, что несмотря на перечисленные выше погрешности измерения  $\sigma(0)$ , значения  $\Gamma_0^2$ , определенные по  $B(\theta)$  и  $\sigma(0)$ , оказываются достаточно близкими и зависимость  $\Gamma_0^2 \sim \lambda^{-1/3}$  хорошо соблюдается, а различие в значениях коэффициента  $A$  в (21) превышает  $\pm 30\%$  (штриховые линии на рис. 4). Подставляя в (20)  $w(\Gamma)$  в форме (14) или (18) и учитывая, что  $\Gamma_0^2 \sim \lambda^{-1/3}$ , приходим к выводу, что ширина  $\delta \theta$  диаграммы обратного рассеяния  $B(\theta)$  на фиксированном уровне  $\beta=\text{const}$  ( $B(\delta\theta)=\beta < 1$ ) в квазизеркальной области изменяется с длиной волны  $\lambda$  по закону  $\delta\theta \sim \lambda^{-1/6}$ .

**4. Пространственный спектр.** Переход от квазизеркальной области к диффузной в зависимостях  $B(\theta)$ , приведенных в [1], происходит при  $\theta_0=15 \div 30^\circ$  во всем диапазоне волн от 3,6 см до 6 м. Тот факт, что ширина квазизеркальной области оказывается не зависящей от  $\lambda$ , позволяет предположить, что в спектре  $S(\kappa)$  область  $\kappa > \kappa_0 = 2k \sin \theta_0$  обеспечивает диффузное рассеяние, а область  $\kappa < \kappa_0$  — квазизеркальное, причем граница разделения спектра  $\kappa_0$  определяется длиной волны излучения:

$$\kappa_0 = \alpha k, \quad \alpha = 2 \sin \theta_0 \simeq 0,5 \div 1,0. \quad (23)$$

Подставляя это значение  $\kappa_0$  в (8) и используя эмпирическую зависимость (21), получаем для  $S(\kappa)$  уравнение

$$\Gamma_0^2 = \int_0^{\kappa_0} S(\kappa) \kappa^3 d\kappa = Ak^{1/3}, \quad (24)$$

решение которого имеет вид

$$S(\kappa) = (A/3\alpha^{1/3}) \kappa^{-11/3}. \quad (25)$$

Учитывая, что  $\Gamma_0^2 \ll 1$  при  $\lambda \gtrsim 3 \text{ см}$  (рис. 4), в формуле (15) можно заменить  $\theta' \rightarrow \theta$  и получить зависимость от длины волны  $\lambda$  диаграммы рассеяния  $B(\theta)$  в диффузной области:

$$B(\theta) = \frac{\sigma_\xi(\theta)}{\sigma_z(0)} = \frac{Q(\theta, \varepsilon) \Gamma_0^2}{V_0^2} k^4 S(2k \sin \theta) \sim \lambda^{-2/3}. \quad (26)$$

При этом мы воспользовались для  $\sigma(0)$  формулой (22б). На рис. 5 приведены взятые из [1] значения  $B(\theta)$  при четырех значениях  $\theta$  в диффузной области на длинах волн  $\lambda = 3,6; 23; 68 \text{ см}$  и  $6 \text{ м}$  (при  $\lambda = 10 \text{ см}$  данные о  $B(\theta)$  в работе [17] не были получены из-за недостаточного потенциала радиолокатора). Видно, что зависимость  $B \sim \lambda^{-2/3}$  (сплошные линии) действительно наблюдается в эксперименте, и, следовательно, в диффузной области частотная зависимость  $\sigma(\theta)$  имеет вид  $\sigma \sim \lambda^{-1/3}$ , так как  $\sigma(0) \sim \Gamma_0^{-2} \sim \lambda^{1/3}$ . Эти зависимости хорошо согласуются с экспериментальными данными абсолютных измерений  $\sigma(\theta)$  на длинах волн  $3,8; 23$  и  $68 \text{ см}$ , приведенными в [1] (см. рис. 6).

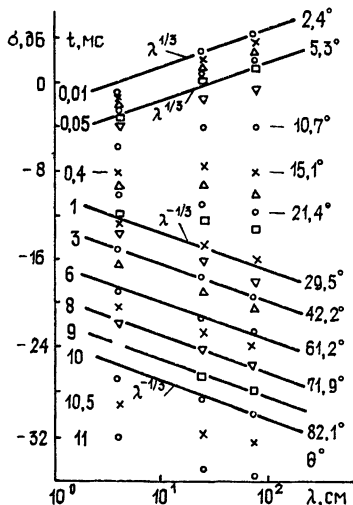


Рис. 6.

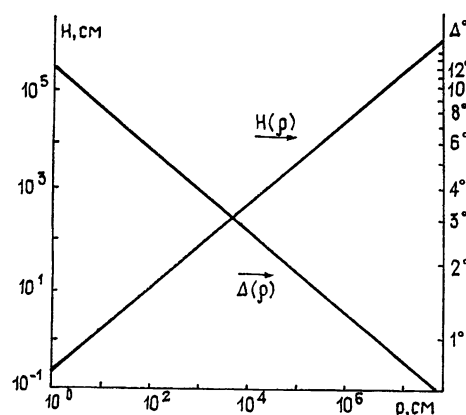


Рис. 7.

Рис. 6. Зависимость сечения обратного рассеяния  $\sigma(0)$  от длины волны  $\lambda$ .  
Значки—экспериментальные данные из [1] для  $\lambda = 3,8; 23, 68 \text{ см}$ .

Рис. 7. Зависимость от базы  $\rho$  среднеквадратичной разности высот  $H$  и наклонов  $\Delta$  лунного рельефа со структурной функцией  $D = C^2 \rho^{5/3}$  ( $C^2 = 0,051 \text{ см}^{1/3}$ ).

Используя явный вид (25) спектра  $S(\kappa)$ , можно получить неравенства на параметр  $\alpha$ , следующие из условий применимости двухмасштабной модели (7), (10) и (17):

$$1/kR = (A/7)^{1/2} \alpha k^{1/6} \ll 1; \quad (27a)$$

$$(kh)^2 = (A/5\alpha^2) k^{1/3} \ll 1; \quad (27b)$$

$$\gamma^2(k) = (A/3\alpha^{1/3}) k^{1/3} \ll 1. \quad (27c)$$

При  $A = 0,068 \text{ см}^{1/3}$  отсюда получаем

$$\alpha \ll 7,47 \lambda^{1/6} \text{ см}; \quad (28a)$$

$$\sigma^2 \gg 0,025/\lambda^{1/3} \text{ см}; \quad (28\text{б})$$

$$\alpha^{1/3} \gg 0,042/\lambda^{1/3} \text{ см}. \quad (28\text{в})$$

Видно, что эти неравенства выполняются с большим запасом при  $\alpha \simeq 1$  для сантиметровых и более длинных радиоволн. Заметим, что некоторая неопределенность в выборе значения параметра  $\alpha$  практически не оказывается на амплитуде спектра  $S(\kappa)$ , так как в формулу (25)  $\alpha$  входит в степени 1/3. В дальнейшем при численных оценках мы будем полагать  $\alpha = 1$ .

**5. Структурная функция.** Случайное поле  $\zeta(r)$ , имеющее пространственный спектр  $S(\kappa) \sim \kappa^{-11/3}$ , нельзя считать однородным — корреляционная функция (2), связанная с  $S(\kappa)$  соотношением (3), для такого поля не существует, так как соответствующий интеграл, обращающий (3), расходится. Однако однородным является поле его первых приращений  $\zeta(r + \rho) - \zeta(r)$  (ср. [12], гл. 1), так как существует не зависящая от  $r$  структурная функция

$$D(\rho) = \langle [\zeta(r + \rho) - \zeta(r)]^2 \rangle = \\ = 2 \int_{-\infty}^{\infty} S(\kappa) [1 - e^{i\kappa\rho}] d^2\kappa = C^2 \rho^{5/3}. \quad (29)$$

Здесь  $C$  — так называемая структурная постоянная, которая связана с ранее введенными параметрами  $A$  и  $\alpha$  соотношением

$$C^2 = 0,748 A/\alpha^{1/3} \simeq 0,051 \text{ см}^{1/3}. \quad (30)$$

Обратное по отношению (29) преобразование приводит к спектру

$$S(\kappa) = 0,446 C^2 \kappa^{-11/3}. \quad (31)$$

Знание структурной функции позволяет получить простые формулы для среднеквадратичной разности высот  $H$  рельефа поверхности  $\zeta(r)$  в двух точках, разнесенных на расстояние  $\rho$ , или углов наклона  $\Delta$  на этой же базе:

$$H(\rho) = \sqrt{D(\rho)} = C \rho^{5/6}, \quad \Delta = \operatorname{arctg}(H/\rho). \quad (32)$$

Численные значения этих параметров приведены на рис. 7 для  $C^2 = 0,051 \text{ см}^{1/3}$ . Строго говоря, формулы (32) получены лишь для тех значений  $\rho$ , которые соответствуют длинам волн  $\lambda$ , применявшимся в радиолокационных исследованиях ( $3 \text{ см} < \lambda < 10 \text{ м}$ ). Однако из рис. 7 видно, что даже очень далекая экстраполяция зависимостей (32) приводит к разумным значениям ( $H \simeq 1,5 \text{ км}$  при  $\rho \simeq 100 \text{ км}$ ). Расстояние  $\rho_0$ , при котором  $\zeta(r)$  и  $\zeta(r + \rho_0)$  не коррелируют, определяется соотношением  $D(\rho_0) = 2\langle \zeta^2 \rangle$ . Из гипсометрической кривой, построенной для поверхности Луны в [21], следует оценка дисперсии  $\langle \zeta^2 \rangle^{1/2} \simeq 2,4 \text{ км}$ , что приводит к оценке радиуса корреляции лунного рельефа  $\rho_0 \simeq 260 \text{ км}$ .

**6. Заключение.** Авторы обзора [1], используя для интерпретации экспериментальных зависимостей  $\sigma(\theta)$  только метод касательной плоскости для поверхности с экспоненциальной функцией корреляции  $W(\rho) = h_0^2 \exp(-\rho/d_0)$  (см., например, [19]), смогли подобрать эмпирические константы  $h_0$  и  $d_0$  так, что теоретические и экспериментальные зависимости  $\sigma(\theta)$  практически совпали на длинах волн  $\lambda = 23$  и  $68 \text{ см}$  (при этом параметры  $h_0$  и  $d_0$ , дающие наилучшее согласие с экспериментом, оказались зависящими от длины волны!). Определив далее «эффективные» углы наклона на базе, зависящей от длины волны, и

привлекая качественные соображения о фильтрации мелкомасштабных шероховатостей поверхности, они пришли к выводу, что в диапазоне длин волн от 23 см до 68 см имеет место зависимость  $S(x) \sim x^{-3.7}$ , практически совпадающая с (25). Однако следует заметить, что такой вид пространственного спектра противоречит исходным посылкам теории: выбор экспоненциальной корреляционной функции<sup>\*</sup> тем самым однозначно определяет и вид спектра  $S(x) \sim [1 + (x d)^2]^{-3/2}$ .

Из приведенного выше анализа видно, что зависимость  $S(x) \sim x^{-11/3}$  имеет место в значительно более широком диапазоне изменения масштабов (более семи октав!) и позволяет объяснить с единой точки зрения по меньшей мере три экспериментальных факта:

1) частотную зависимость  $\sigma(0) \sim \lambda^{1/3}$ ;

2) поведение  $\sigma(\theta)$  в квазизеркальной области  $\theta \leq 15 \div 30^\circ$  и, в частности, уменьшение ширины  $d\theta$  диаграммы обратного рассеяния  $B(\theta)$  с ростом длины волны —  $(d\theta)^2 \sim \lambda^{-1/3}$ ;

3) зависимость от длины волны  $B \sim \lambda^{-2/3}$ ,  $\sigma \sim \lambda^{-1/3}$  в диффузной области  $\theta \geq 15 \div 30^\circ$ . Заметим также, что при этом не возникает необходимости во введении каких-либо гипотез о зависимости диэлектрической проницаемости  $\epsilon$  от  $\lambda$  или построении сложных моделей приповерхностного слоя с  $\epsilon$ , зависящим от глубины, — все наблюдаемые в эксперименте частотные зависимости получают естественную интерпретацию только как результат дифракции на недиспергирующей и однородной ( $\epsilon = \text{const}$ ) шероховатой поверхности со степенным спектром  $S(x) \sim x^{-11/3}$  или структурной функцией  $D(\rho) \sim \rho^{5/3}$ .

Определенная выше структурная функция  $D(\rho) = C^2 \rho^{5/3}$  характеризует шероховатость лунного рельефа «в среднем». По-видимому, если подобную обработку радиолокационных данных провести отдельно для морфологически различных районов (например, морей и материков), то может получиться, вообще говоря, другая зависимость. Во всяком случае, известно (см., например, [2, 3]), что дисперсия наклонов поверхности Луны в областях, занятых материками и морями, существенно различны. Возможно, однако, что зависимость  $D = C^2 \rho^{5/3}$  является универсальной, а различные типы рельефа отличаются лишь значением структурной постоянной  $C$ , как это имеет место, например, в теории турбулентности, где в широком диапазоне масштабов справедлив закон «двух третей» ( $D \sim \rho^{2/3}$ ) для структурных функций флуктуаций скорости, температуры и других параметров, а степень развитости турбулентности (здесь — степень шероховатости рельефа) характеризуется лишь одним числом — структурной постоянной  $C$ .

Наконец, заметим, что приведенная выше интерпретация экспериментальных данных  $\sigma(\theta)$  относится только к диапазону достаточно длинных радиоволн ( $\lambda \geq 3$  см), когда диффузная компонента в радиолокационном сигнале значительно слабее зеркальной. И хотя неравенства (28а) — (28в) выполняются и для миллиметрового диапазона, однако при этом дисперсия наклонов  $\Gamma_0$  становится довольно значительной (для  $\lambda = 0,86$  см из (24) имеем  $\arctg \Gamma_0 \approx 20^\circ$ ), и формула (15), описывающая диффузную компоненту  $B(\theta)$ , уже не упрощается до вида (26) — необходимо проводить явное усреднение по  $\Gamma$  в (15). Кроме того, поведение спектра  $S(x)$  в области столь малых пространственных масштабов может заметно отличаться от установленного выше степенного закона.

В заключение считаю своим приятным долгом поблагодарить С. Я. Брауде, обратившего мое внимание на близость рассмотренного выше круга вопросов к задаче об определении параметров морского волнения методами радиоокеанографии.

\* Модель мелкомасштабной поверхности с  $W(\rho)$  в виде суммы экспоненциальных корреляционных функций [20] практически ничего не изменяет в этой схеме, а дает только дополнительные подгоночные параметры.

## ЛИТЕРАТУРА

1. Evans J. V., Hagfors T.—Adv. Astron. Astrophys., 1971, 8, p. 29  
(русск. пер в сб. Планеты и спутники. — М.: Мир, 1974, с. 490).
2. Крупенин Н. Н. Радиолокационные исследования Луны.—М.: Наука, 1971.
3. Крупенин Н. Н. Радиофизические исследования планет.—М.: Наука, 1978.
4. Hagfors T.—Adv. Astron. Astrophys., 1971, 8, p. 1 (русск. пер в сб. Планеты и спутники.—М.: Мир, 1974, с. 458).
5. Bass F. G. et al — IEEE Trans., 1968, AP-16, № 5, p. 554.
6. Фукс И. М.—Акуст. журн. 1974, 20, № 3, с. 458
7. Калмыков А. И. и др. Препринт ИРЭ АН УССР, № 71, Харьков, 1976.
8. Bass F. G., Braude S. Ya et al.—IEEE Trans., 1977, AP-25, № 1, p. 43.
9. Лементя Ю. А., Фукс И. М.—Изв. вузов — Радиофизика, 1978, 21, № 3, с. 379, 1979, 22, № 4, с. 503.
10. Радиоокеанографические исследования морского волнения. — Сб. статей под ред. С. Я. Брауде — Киев: АН УССР, 1962.
11. Evans J. V., Hagfors T. Radar Astronomy, 1968, № 4.
12. Рытов С. М., Кравцов Ю. А., Татарский В. И. Введение в статистическую радиофизику. Ч. II. Случайные поля.—М: Наука, 1978.
13. Бреховских Л. М.—ЖЭТФ, 1952, 23, № 3(9), с. 275.
14. Исаакович М. А.—ЖЭТФ, 1952, 23, № 3(9), с. 305.
15. Bass Ф. Г., Фукс И. М. Рассеяние волн на статистически неровной поверхности.—М: Наука, 1972
16. Bass Ф. Г., Бочаров В. Г.—Радиотехника и электронника, 1958, 3, № 2, с. 180.
17. Hughes V A.—Proc Phys Soc, 1961, 78, p. 988
18. Klemperer W. K.—J. Geophys. Res., 1965, 70, № 15, p. 3798
19. Evans J. V., Pettengill G. H.—J. Geophys. Res., 1963, 68, p. 423.
20. Beckmann P.—J. Geophys. Res., 1965, 70, p. 2345.
21. Гаврилов И. В.—В сб: Физика Луны и планет.—М: Наука, 1972, с. 144

Институт радиофизики и электроники  
АН УССР

Поступила в редакцию  
31 января 1983 г

## STRUCTURE FUNCTION OF THE LUNAR RELIEF ACCORDING TO RADAR DATA

I. M. Fuchs

The radar cross-section  $\sigma(\theta)$  of the lunar surface has been analysed as a function of the angle of wave incidence,  $\theta$ , and wavelength,  $\lambda$ , for  $3.6 \text{ cm} < \lambda \leq 6 \text{ m}$ . As has been found, the measured dependence of  $\sigma$  at  $\theta \rightarrow 0$  can be satisfactorily approximated by the power law  $\sigma(0) \sim \lambda^{1/3}$  while the angular width  $\delta\theta$  of the backscatter pattern,  $B(\theta) = \sigma(\theta)/\sigma(0)$ , varies as  $\delta\theta \sim \lambda^{-1/6}$  for  $0 \leq \theta < 15^\circ$  to  $30^\circ$ . At larger angles of incidence (namely,  $30^\circ \leq \theta < 80^\circ$ ) the two values behave as  $\sigma(\theta) \sim \lambda^{-1/3}$  and  $B(\theta) \sim \lambda^{-2/3}$ . Theoretically, these dependences can be understood as a result of radio wave diffraction by a rough surface with the structure function  $D(\rho) = C^2 \rho^{5/3}$  where  $D(\rho)$  is the mean square of a height difference between two points of the surface relief separated by a distance  $\rho$ . The corresponding spatial spectrum  $S(\kappa)$ , i. e. the mean square of the spatial harmonic amplitude for the period  $\Lambda = 2\pi/\kappa$ , has the form  $S(\kappa) = 0.446 C^2 \kappa^{-11/3}$  with the value of the structure constant  $C^2 = 0.051 \text{ cm}^{1/3}$ .